• 药理与临床 •

溪黄草甲素对脂多糖诱导的炎性反应的作用及机制研究

孙礼芹 1,2 , 李光霞 1,2 , 王 瑞 1 , 李医明 1 , 钱 菲 2* , 贾 琦 1*

- 1. 上海中医药大学中药学院, 上海 201203
- 2. 上海中医药大学交叉科学研究院,上海 201203

摘 要:目的 研究溪黄草甲素对脂多糖(lipopolysaccharides,LPS)诱导的体内外炎性反应的作用及机制。方法 BALB/c 小鼠 ip LPS 建立急性炎性反应模型,给予溪黄草甲素和地塞米松进行干预,检测各组小鼠血清中肿瘤坏死因子- α (tumor necrosis factor- α ,TNF- α)和白细胞介素-6(interleukin-6,IL-6)的水平。体外建立 LPS 诱导的小鼠单核巨噬细胞 RAW264.7 炎性模型,采用 XTT 法考察溪黄草甲素对 RAW264.7 细胞存活率的影响;采用 Griess 法考察溪黄草甲素对 RAW264.7 细胞上清液中一氧化氮(nitric oxide,NO)水平的影响;采用 ELISA 法考察溪黄草甲素对 RAW264.7 细胞上清液中 TNF- α 和 IL-6 水平的影响;采用 Western blotting 法考察溪黄草甲素对 RAW264.7 细胞诱导型一氧化氮合酶(inducible nitric oxide synthase,iNOS)、Janus 激酶 2(Janus kinase 2,JAK2)/信号转导和转录激活因子 3(signal transducer and activator of transcription 3,STAT3)、核因子- κ B(nuclear factor- κ B,NF- κ B)、丝裂原活化蛋白激酶(mitogen-activated protein kinase,MAPK)信号通路相关蛋白表达的影响。结果 溪黄草甲素显著抑制 LPS 诱导的急性炎性小鼠模型血清中 TNF- α 和 IL-6 水平(P<0.05、0.01、0.001)。溪黄草甲素(\leq 5 μ mol/L)对 RAW264.7 细胞存活率无明显影响;溪黄草甲素显著抑制 LPS 诱导的 RAW264.7 细胞 NO 分泌和上清液中 TNF- α 、IL-6 水平,以及 iNOS、磷酸化 JAK2(p-JAK2)和磷酸化 STAT3(p-STAT3)蛋白表达水平(p<0.05、0.01、0.001),但对 NF- κ B 和 MAPK 信号通路相关蛋白表达无抑制作用。结论 溪黄草甲素能够抑制 LPS 诱导的体内外炎性反应,其作用机制可能与抑制 JAK2/STAT3 信号通路有关。

关键词:溪黄草甲素; RAW264.7 细胞; 脂多糖; 抗炎; JAK2/STAT3 信号通路

中图分类号: R285.5 文献标志码: A 文章编号: 0253 - 2670(2021)15 - 4561 - 08

DOI: 10.7501/j.issn.0253-2670.2021.15.014

Effect and mechanism of rabdoserrin A on LPS-induced inflammatory response

SUN Li-qin^{1, 2}, LI Guang-xia^{1, 2}, WANG Rui¹, LI Yi-ming¹, QIAN Fei², JIA Qi¹

- 1. School of Traditional Chinese Medicine, Shanghai University of Traditional Chinese Medicine, Shanghai 201203, China
- 2. Institute of Interdisciplinary Integrative Medicine Research, Shanghai University of Traditional Chinese Medicine, Shanghai 201203, China

Abstract: Objective To study the effect and mechanism of rabdoserrin A on lipopolysaccharides (LPS)-induced inflammatory response *in vivo* and *in vitro*. **Methods** BALB/c mice were ip LPS to establish an acute inflammatory response model, rabdoserrin A and dexamethasone were used for intervention, levels of tumor necrosis factor- α (TNF- α) and interleukin-6 (IL-6) in serum of mice in each group were detected. LPS-induced inflammatory model of RAW264.7 cells was established *in vitro*, and XTT method was used to investigate the effect of rabdoserrin A on survival rate of RAW264.7 cells; Griess was used to investigate the effect of rabdoserrin A on levels of TNF- α and IL-6 in supernatant of RAW264.7 cells; Western blotting was used to investigate the effect of rabdoserrin A on expressions of inducible nitric oxide synthase (iNOS), Janus kinase 2 (JAK2)/signal transducer and activator of transcription 3 (STAT3), nuclear factor-κB (NF-κB) and mitogen-activated protein kinase (MAPK) signaling pathway related protein in RAW264.7 cells. **Results**

基金项目: 国家自然科学基金资助项目(81973458)

作者简介: 孙礼芹 (1995—), 女,硕士研究生,主要从事中药活性成分研究。E-mail: aman1607@163.com

收稿日期: 2021-02-01

^{*}通信作者: 贾 琦,副教授,硕士生导师,主要从事中药活性成分研究。E-mail: q_jia@126.com

钱 菲,副研究员,主要从事中药抗炎与免疫研究。E-mail: qianfei0517@126.com

Rabdoserrin A significantly inhibited the levels of TNF- α and IL-6 in the serum of acute inflammation mice model induced by LPS (P < 0.05, 0.01, 0.001). Rabdoserrin A ($\leq 5 \,\mu \text{mol/L}$) had no significant effect on survival rate of RAW264.7 cells; Rabdoserrin A significantly inhibited NO secretion, levels of TNF- α and IL-6 in supernatant, expressions of iNOS, phosphorylated JAK2 (p-JAK2) and phosphorylated STAT3 (p-STAT3) in RAW264.7 cells induced by LPS (P < 0.05, 0.01, 0.001), but had no inhibitory effect on expressions of NF- κ B and MAPK signaling pathways related protein. **Conclusion** Rabdoserrin A can inhibit the inflammatory response induced by LPS *in vivo* and *in vitro*, and its mechanism may be related to the inhibition of JAK2/STAT3 signaling pathway.

Key words: rabdoserrin A; RAW264.7 cells; lipopolysaccharides; anti-inflammation; JAK2/STAT3 signaling pathway

炎性反应是机体应对病原体、感染或组织损伤 的保护性反应, 但失控的炎性反应会对机体造成损 伤[1],因此控制体内炎性反应的动态平衡至关重要。 巨噬细胞及其释放的炎性介质在炎性反应的发生发 展过程中扮演着重要的角色[2]。除具有吞噬功能外, 巨噬细胞还可以在脂多糖(lipopolysaccharides, LPS)等刺激物的诱导下被激活,从而诱导合成并 释放大量肿瘤坏死因子-α (tumor necrosis factor, TNF-α)、白细胞介素-6 (interleukin-6, IL-6)、一 氧化氮 (nitric oxide, NO) 等炎性介质, 进而引起 炎性反应[3-5]。因此,抑制巨噬细胞的过度活化对抑 制炎性反应具有重要意义。溪黄草 Rabdosia serra (Maxim.) Hara 为唇形科香茶菜属植物,别名熊胆 草、风血草、黄汁草等,具有清热利湿、退黄、凉 血散瘀的功效[6-7]。现代药理学研究表明,溪黄草具 有抗炎、抗肿瘤、抑菌、增强免疫及保肝利胆等作 用。溪黄草甲素是溪黄草中重要的二萜类成分之一, 目前仅发现其对人宫颈癌细胞 HeLa 的增殖具有显 著的抑制作用[8],但对其抗炎作用方面的研究鲜有 报道。本研究采用 LPS 诱导小鼠建立急性炎性反应 模型,并诱导小鼠单核巨噬细胞 RAW264.7 细胞建 立体外炎性细胞模型,探究溪黄草甲素的抗炎作用 及机制,为临床抗炎药物的开发提供依据。

1 材料

1.1 动物

SPF 级雄性 BALB/c 小鼠 45 只,6 周龄,体质量 $20\sim22$ g,购自浙江维通利华实验动物技术有限公司,动物许可证号 SCXK(浙)2020-0002。动物饲养于上海中医药大学动物实验楼,温度 $20\sim26$ °C、相对湿度 $40\%\sim60\%$,光照明暗交替各 12 h,自由进食饮水。动物实验经上海中医药大学实验动物伦理委员会批准(批准号 PZSHUTCM200904008)。

1.2 细胞

RAW264.7细胞为本课题组保存。

1.3 药品与试剂

溪黄草甲素 (质量分数≥98%) 为本课题组自

制; DMEM 高糖培养基(批号 8120449)购自美国 Gibco 公司; 胎牛血清 (批号 17M483)、LPS (批 号 078M4039V)、二甲基亚砜(DMSO, 批号 RNBH5492) 购自美国 Sigma 公司; XTT 试剂盒(批 号 32141000) 购自德国 Roche 公司; TNF-α ELISA 试剂盒(批号 227846-005)、IL-6 ELISA 试剂盒(批 号 234277-003) 购自美国 Thermo Fisher Scientific 公司;蛋白酶抑制剂(批号 410064)、磷酸酶抑制 剂(批号510033)购自美国 Selleck 公司; RIPA 裂 解液、蛋白酶抑制剂 PMSF、细胞核蛋白与细胞质 蛋白抽提试剂(批号020617170522)、BCA蛋白定 量试剂盒(批号080919190917)购自上海碧云天生 物技术有限公司;诱导型一氧化氮合酶(inducible nitric oxide synthase, iNOS) 抗体、c-Jun 氨基端激 酶(c-Jun N-terminal kinase, JNK)抗体、磷酸化 JNK (p-JNK) 抗体、细胞外调节蛋白激酶 1/2 (extracellular regulated protein kinase 1/2, ERK1/2) 抗体、p-ERK1/2 抗体、p38 抗体、p-p38 抗体、p65 抗体、Janus 酪氨酸蛋白激酶 2 (Janus kinase 2, JAK2) 抗体、p-JAK2 抗体、信号转导子与转录激 活子蛋白 3 (signal transducer and activator of transcription 3, STAT3) 抗体、p-STAT3 抗体、核 因子-κB 抑制蛋白 α (inhibitor nuclear factor-κB α , IκBα)抗体、p-IκBα 抗体购自美国 CST 公司;小 鼠源重组 IL-6、甘油醛-3-磷酸脱氢酶 (glyceraldehyde-3-phosphate dehydrogenase, GAPDH) 抗体(批号 DJ18)、Histone H3 抗体(批号 A25J)、 HRP 标记的山羊抗兔 IgE 抗体(批号 AS007)、HRP 标记的山羊抗小鼠 IgE 抗体(批号 AS006) 购自爱 必信生物科技有限公司; ECL 发光液(批号 1916102) 购自美国 Millpore 公司。

1.4 仪器

HEPA CLASS 100 型 CO₂ 细胞培养箱 (美国 Thermo Fisher Scientific 公司); 超净工作台 (美国 Labconco 公司); YC-1 型层析实验冷柜 (北京德天 佑科技发展有限公司); 5424R 型高速冷冻离心机

(德国 Eppendorf 公司);全波长酶标仪(美国 Molecular Devices 公司);042BR 型蛋白质电泳槽(美国 Bio-Rad 公司);VE-186 系列转移电泳槽(上海天能科技有限公司);5200 系列全自动凝胶图像分析系统(上海天能科技有限公司)。

2 方法

2.1 造模、分组与给药

BALB/c 小鼠随机分为对照组、模型组及溪黄草甲素低、高剂量(50、100 mg/kg)^[9-10]组和地塞米松(5 mg/kg)组,每组 9 只。以 0.5%羧甲基纤维素钠(CMC-Na)作为助溶剂并进行研磨,将溪黄草甲素配制成质量浓度为 2.5、5.0 mg/mL 的混悬液,将地塞米松配制成质量浓度为 0.25 mg/mL 的混悬液。各给药组 ig 相应药物(20 mL/kg),对照组和模型组 ig 0.5% CMC-Na,1 次/d,连续 2 d。LPS溶于 0.9%氯化钠溶液配制成质量浓度为 1 mg/mL的溶液,末次给药 1 h 后,模型组和各给药组 ip LPS(10 mL/kg)刺激 6 h 建立急性炎性小鼠模型,对照组 ip 等体积 0.9%氯化钠溶液。

2.2 溪黄草甲素对 LPS 诱导的急性炎性小鼠模型 血清中 TNF-α 和 IL-6 水平的影响

各组小鼠眼眶取血后, ip 戊巴比妥钠处死, 分离并得到血清, 按 ELISA 试剂盒说明书测定血清中 TNF-α 和 IL-6 水平。

2.3 细胞培养

RAW264.7细胞用含10%胎牛血清的DMEM高糖培养基,于37℃、5%CO₂培养箱中培养,当细胞融合度达到50%时,采用一次性细胞刮刀进行脱壁并传代,待细胞透明、边界清晰后进行实验。

2.4 溪黄草甲素对 RAW264.7 细胞存活率的影响

RAW264.7 细胞以 2.5×10⁵/mL 接种于 96 孔板中,于培养箱中培养。设置对照组、溪黄草甲素 (0.312 5、0.625 0、1.250 0、2.500 0、5.000 0 μmol/L)组,溪黄草甲素溶于 DMSO,配制成 25 mmol/L 的母液,使用时以培养基稀释至相应浓度。各给药组加入相应药物,对照组加入不含药物的培养基,培养 24 h;每孔加入 50 μL XTT,培养 4 h,振荡 30 s,采用酶标仪测定 492、690 nm 处的吸光度(A)值,计算细胞存活率。

细胞存活率=A 給药/A 对照

2.5 溪黄草甲素对 LPS 诱导的 RAW264.7 细胞上 清液中 NO 水平的影响

RAW264.7 细胞以 5×105/mL 接种于 96 孔板

中,于培养箱中培养。设置对照组、模型组、溪黄草甲素(0.312 5、0.625 0、1.250 0、2.500 0、5.000 0 μmol/L)组。各给药组加入溪黄草甲素预处理 30 min,模型组和各给药组再加入 LPS(0.5 μg/mL)刺激 24 h,对照组加入不含药物的培养基。采用 Griess 法检测细胞上清液中 NO 水平。

2.6 溪黄草甲素对 LPS 诱导的 RAW264.7 细胞 iNOS 蛋白表达的影响

RAW264.7 细胞以 5×10^5 /mL 接种于 100 mm 细胞培养皿中,于培养箱中培养。设置对照组、模型组、溪黄草甲素(1.25、2.50、5.00 μ mol/L)组。按"2.5"项下方法进行处理,收集细胞,加入 RIPA 裂解液提取细胞总蛋白,采用 BCA 蛋白定量试剂盒测定蛋白质量浓度,于 95 °C水浴加热 10 min 使蛋白变性。蛋白样品经十二烷基硫酸钠-聚丙烯酰胺凝胶电泳,转至 PVDF 膜,加入 5%脱脂牛奶室温封闭 1 h,分别加入 iNOS、GAPDH 抗体,4 °C孵育过夜;TBST 洗涤 5 次,5 min/次,加入 HRP 标记的山羊抗兔 IgE 抗体,室温孵育 1 h,TBST 洗涤后,加入 ECL 发光液显影,采用 Image J 分析条带灰度值。

2.7 溪黄草甲素对 LPS 诱导的 RAW264.7 细胞上 清液中 TNF-α 和 IL-6 水平的影响

RAW264.7 细胞以 5×10^5 /mL 接种于 96 孔板中,于培养箱中培养。按"2.6"项下方法进行分组和处理,收集细胞上清液,按试剂盒说明书测定细胞上清液中 TNF- α 和 IL-6 水平。

2.8 溪黄草甲素对LPS诱导的RAW264.7细胞JAK2、p-JAK2、STAT3 和 p-STAT3 蛋白表达的影响

RAW264.7 细胞以 5×10⁵/mL 接种于 100 mm 细胞培养皿中,于培养箱中培养。按 "2.6" 项下方法进行分组,各给药组加入溪黄草甲素预处理 30 min,模型组和各给药组再加入 LPS(0.5 μg/mL)刺激 4 h,对照组加入不含药物的培养基。收集细胞,按 "2.6" 项下方法检测细胞 JAK2、p-JAK2、STAT3 和 p-STAT3 蛋白表达情况。

2.9 溪黄草甲素对 IL-6 诱导的 RAW264.7 细胞 STAT3 和 p-STAT3 蛋白表达的影响

RAW264.7 细胞以 5×10⁵/mL 接种于 100 mm 细胞培养皿中,于培养箱中培养。按"2.6"项下方法进行分组,各给药组加入溪黄草甲素预处理 30 min,模型组和各给药组再加入 IL-6(3 ng/mL)刺激 30 min,对照组加入不含药物的培养基。收集细

胞,按 "2.6" 项下方法检测细胞 STAT3 和 p-STAT3 蛋白表达情况。

2.10 溪黄草甲素对 LPS 诱导 RAW264.7 细胞不同时间后的上清液中 IL-6 水平的影响

RAW264.7 细胞以 5×10⁵/mL 接种于 96 孔板中,于培养箱中培养。设置模型组和溪黄草甲素 (5μmol/L)组,给药组加入溪黄草甲素预处理 30 min,模型组和给药组再加入 LPS (0.5 μg/mL)分别刺激1、2、3、4、6、8、12、16、24 h,收集细胞上清液,按 ELISA 试剂盒说明书测定各时间点细胞上清液中 IL-6 水平。

2.11 溪黄草甲素对 LPS 诱导的 RAW264.7 细胞 NF-κB 与 MAPK 信号通路相关蛋白表达的影响

RAW264.7 细胞以 5×10⁵/mL 接种于 100 mm 细胞培养皿中,于培养箱中培养。按"2.6"项下方法进行分组,各给药组加入溪黄草甲素预处理 30 min,模型组和各给药组再加入 LPS(0.5 μg/mL)刺激 30 min,对照组加入不含药物的培养基。收集

细胞,加入 RIPA 裂解液提取细胞总蛋白,或采用细胞核蛋白与细胞质蛋白抽提试剂提取细胞核与胞质蛋白,按"2.6"项下方法检测细胞 p-IκBα、p65、p-JNK、p-ERK1/2、p-p38 蛋白表达情况。

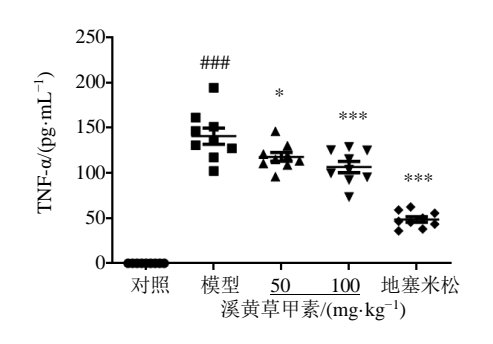
2.12 统计学分析

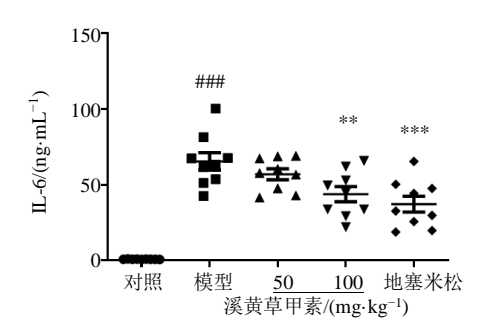
数据以 \bar{x} ± s 表示,使用 GraphPad Prism 6.0 软件进行统计,采用单因素方差分析和 t 检验进行差异比较。

3 结果

3.1 溪黄草甲素对 LPS 诱导的急性炎性小鼠模型 血清中 $TNF-\alpha$ 和 IL-6 水平的影响

如图 1 所示,与对照组比较,模型组小鼠血清中 TNF- α 和 IL-6 水平显著升高(P<0.001);与模型组比较,各给药组血清中 TNF- α 水平显著降低(P<0.05、0.001),溪黄草甲素(100 mg/kg)组和地塞米松组血清中 IL-6 水平显著降低(P<0.01、0.001),表明溪黄草甲素对 LPS 诱导的小鼠急性炎性反应具有抑制作用。





与对照组比较: $^{##}P$ <0.001;与模型组比较: $^{*}P$ <0.05 $^{**}P$ <0.01 $^{***}P$ <0.001 $^{##}P$ <0.001 $^{**}P$ <0.00 $^{**}P$ <0.01 $^{**}P$ <0.01 $^{**}P$ <0.001 $^{**}P$

图 1 溪黄草甲素对 LPS 诱导的急性炎性小鼠模型血清中 TNF- α 和 IL-6 水平的影响 $(\bar{x} \pm s, n = 9)$

Fig. 1 Effect of rabdoserrin A on TNF- α and IL-6 levels in serum of acute inflammation mice model induced by LPS ($\bar{x} \pm s$, n = 9)

3.2 溪黄草甲素对 RAW264.7 细胞存活率的影响

如图 2 所示,与对照组比较,各剂量溪黄草甲素对 RAW264.7 细胞存活率均无显著影响。

3.3 溪黄草甲素对 LPS 诱导的 RAW264.7 细胞上清液中 NO 水平的影响

如图 3 所示,与对照组比较,模型组细胞上清液中 NO 水平显著升高(P<0.001);与模型组比较,溪黄草甲素(0.625 0、1.250 0、2.500 0、5.000 0 μ mol/L)组细胞上清液中 NO 水平显著降低(P<0.05、0.001),呈剂量相关性,其半数抑制浓度(50% concentration of inhibition,IC₅₀)值为 2.68 μ mol/L。

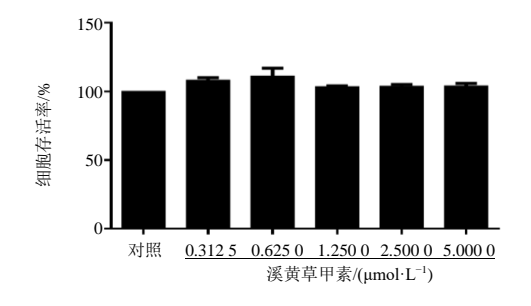
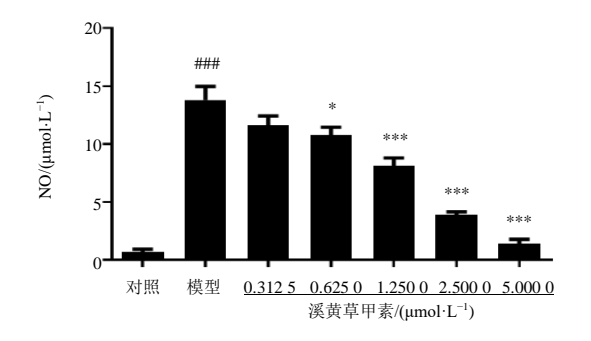


图 2 溪黄草甲素对 RAW264.7 细胞存活率的影响 $(x \pm s, n=3)$

Fig. 2 Effect of rabdoserrin A on survival rate of RAW264.7 cells $(\bar{x} \pm s, n = 3)$

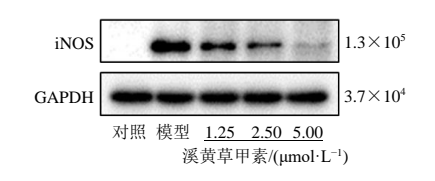


与对照组比较: **#P<0.001; 与模型组比较: *P<0.05 ***P<0.01 ****P<0.001, 下图同

###P < 0.001 vs control group; *P < 0.05 **P < 0.01 ***P < 0.001 vs model group, same as belows

图 3 溪黄草甲素对 LPS 诱导的 RAW264.7 细胞上清液中 NO 水平的影响 $(x \pm s, n = 3)$

Fig. 3 Effect of rabdoserrin A on NO level in supernatant of RAW264.7 cells induced by LPS $(\bar{x} \pm s, n = 3)$



因此,选取 1.25、2.50、5.00 μmol/L 3 个浓度展开后续实验。

3.4 溪黄草甲素对 LPS 诱导的 RAW264.7 细胞 iNOS 蛋白表达的影响

如图 4 所示,与对照组比较,模型组细胞 iNOS 蛋白表达水平显著升高(P<0.001);与模型组比较,溪黄草甲素(2.50、5.00 μ mol/L)组细胞 iNOS 蛋白表达水平显著降低(P<0.05、0.01)。

3.5 溪黄草甲素对 LPS 诱导的 RAW264.7 细胞上 清液中 TNF-α 和 IL-6 水平的影响

如图 5 所示,与对照组比较,模型组细胞上清液中 $TNF-\alpha$ 和 IL-6 水平显著升高(P<0.001);与模型组比较,各剂量溪黄草甲素组上清液中 IL-6 水平显著降低(P<0.001),溪黄草甲素(2.50、5.00 $\mu mol/L$)组上清液中 $TNF-\alpha$ 水平显著降低(P<0.05、

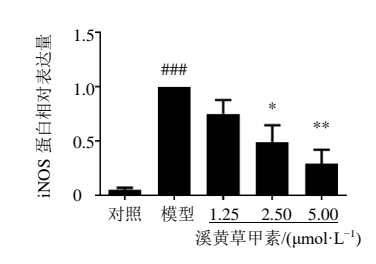
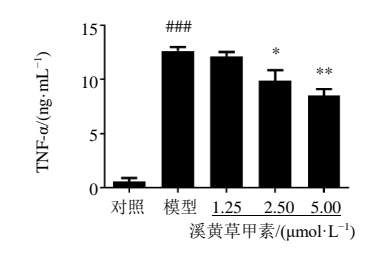


图 4 溪黄草甲素对 LPS 诱导的 RAW264.7 细胞 iNOS 蛋白表达的影响 $(x \pm s, n = 3)$

Fig. 4 Effect of rabdoserrin A on iNOS expression of RAW264.7 cells induced by LPS $(x \pm s, n = 3)$



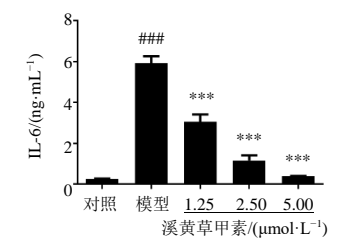


图 5 溪黄草甲素对 LPS 诱导的 RAW264.7 细胞上清液中 TNF- α 和 IL-6 水平的影响 (x+s, n=3)

Fig. 5 Effect of rabdoserrin A on TNF- α and IL-6 levels of RAW264.7 cells induced by LPS ($x \pm s$, n = 3)

0.01),且呈剂量相关性,表明溪黄草甲素能够抑制 LPS 诱导的 RAW264.7 细胞的炎性反应。

3.6 溪黄草甲素对LPS 诱导的RAW264.7 细胞JAK2、p-JAK2、STAT3 和 p-STAT3 蛋白表达的影响

如图 6 所示,与对照组比较,模型组 p-JAK2、p-STAT3 蛋白表达水平均显著升高(P<0.01、0.001);与模型组比较,各剂量溪黄草甲素组p-STAT3 蛋白表达水平显著降低(P<0.05、0.01、0.001),溪黄草甲素(2.50、5.00 μ mol/L)组 p-JAK2蛋白表达水平显著降低(P<0.05、0.01),且呈剂

量相关性。

3.7 溪黄草甲素对 IL-6 诱导的 RAW264.7 细胞 STAT3 和 p-STAT3 蛋白表达的影响

JAK2/STAT3 的激活可以促进 IL-6 的产生,IL-6 能够与胞膜上的受体结合,进一步激活 JAK2/STAT3 信号通路。如图 7 所示,与对照组比较,模型组 p-STAT3 蛋白表达水平显著升高(P<0.001);与模型组比较,溪黄草甲素(2.50、5.00 μ mol/L)组 p-STAT3 蛋白表达水平显著降低(P<0.001),且呈剂量相关性。

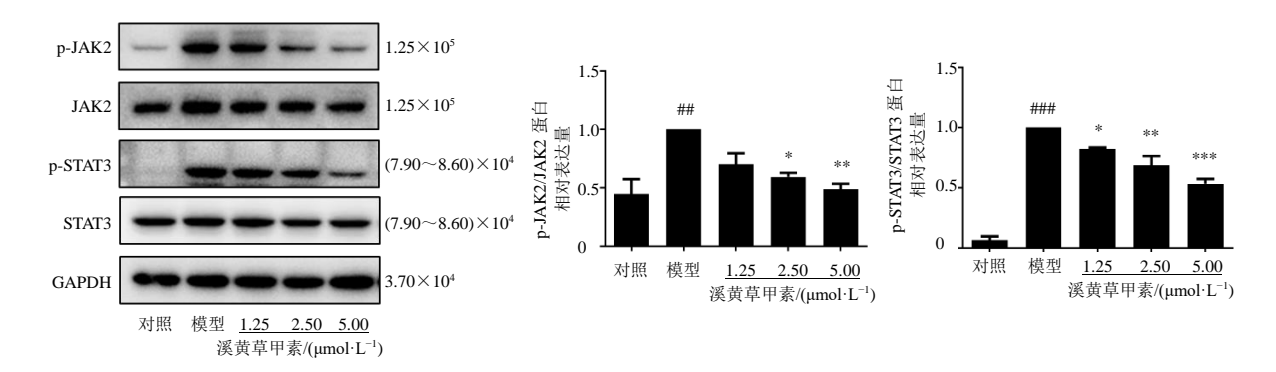
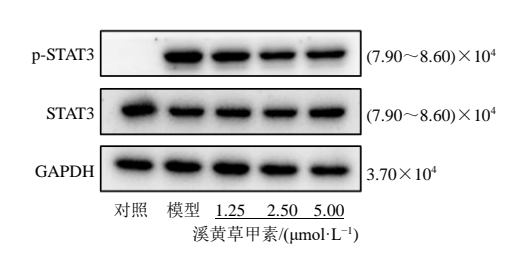


图 6 溪黄草甲素对 LPS 诱导的 RAW264.7 细胞 JAK2、p-JAK2、STAT3 和 p-STAT3 蛋白表达的影响 $(\bar{x}\pm s, n=3)$ Fig. 6 Effect of rabdoserrin A on expressions of JAK2, p-JAK2, STAT3 and p-STAT3 of RAW264.7 cells induced by LPS $(\bar{x}\pm s, n=3)$



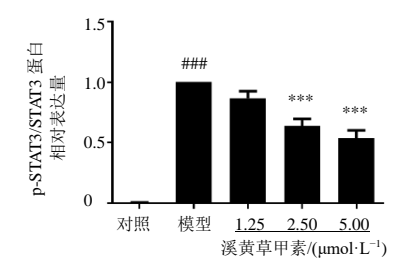


图 7 溪黄草甲素对 IL-6 诱导的 RAW264.7 细胞 STAT3 和 p-STAT3 蛋白表达的影响 $(x \pm s, n = 3)$

Fig. 7 Effect of rabdoserrin A on expressions of STAT3 and p-STAT3 of RAW264.7 cells induced by IL-6 ($x \pm s$, n = 3)

3.8 溪黄草甲素对 LPS 诱导 RAW264.7 细胞不同时间后的上清液中 IL-6 水平的影响

如图 8 所示, LPS 诱导 RAW264.7 细胞 4 h 时, IL-6 未显著释放, 而溪黄草甲素已经能够显著抑制 p-JAK2、p-STAT3 蛋白表达水平, 表明 LPS 诱导 RAW264.7 细胞 4 h, 溪黄草甲素对 JAK2/STAT3 的下调与 IL-6 分泌无关。

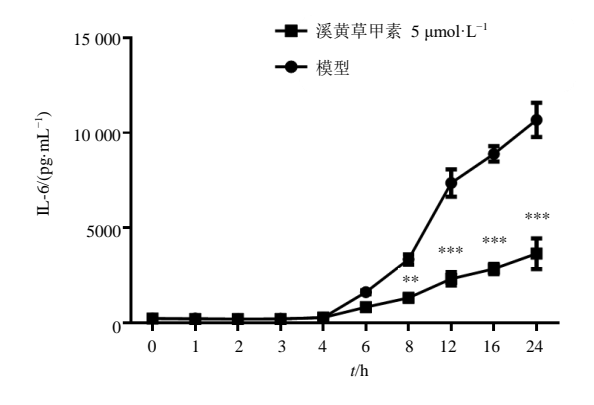


图 8 溪黄草甲素对 LPS 诱导 RAW264.7 细胞不同时间后的上清液中 IL-6 水平的影响 $(x \pm s, n = 3)$

Fig. 8 Effect of rabdoserrin A on IL-6 level of RAW264.7 cells induced by LPS for different time $(x \pm s, n = 3)$

3.9 溪黄草甲素对 LPS 诱导的 RAW264.7 细胞 NF-κB 与 MAPK 信号通路相关蛋白表达的影响

如图 9、10 所示,LPS 诱导 RAW264.7 细胞 30 min 时,与对照组比较,模型组 p-IκBα、胞核 p65、p-JNK、p-ERK1/2、p-p38 蛋白表达水平均显著升高 (P<0.001);与模型组比较,各给药组对 NF-κB 与 MAPK 信号通路相关蛋白表达水平无明显影响。

4 讨论

巨噬细胞在炎性反应的发展中发挥着重要的作用^[111]。LPS 可以促使巨噬细胞分泌 NO、TNF-α、IL-6等多种促炎介质,引起炎性反应的发生与发展^[12]。本研究结果显示,0.312 5、0.625 0、1.250 0、2.500 0、5.000 0 μmol/L 溪黄草甲素对 RAW264.7 细胞的活力无明显抑制作用,溪黄草甲素对 LPS 诱导的RAW264.7 细胞上清液中 NO 水平的 IC₅₀ 值为 2.68μmol/L。因此,后续选择 1.25、2.50、5.00 μmol/L进行研究。溪黄草甲素显著抑制 LPS 诱导的RAW264.7 细胞中 NO 合成关键酶(iNOS)^[13]蛋白表达水平。TNF-α 和 IL-6 是 2 种重要的促炎细胞因子,LPS 可以诱导其大量分泌,而溪黄草甲素可以显著抑制二者的产生,在 LPS 诱导的急性炎性小鼠

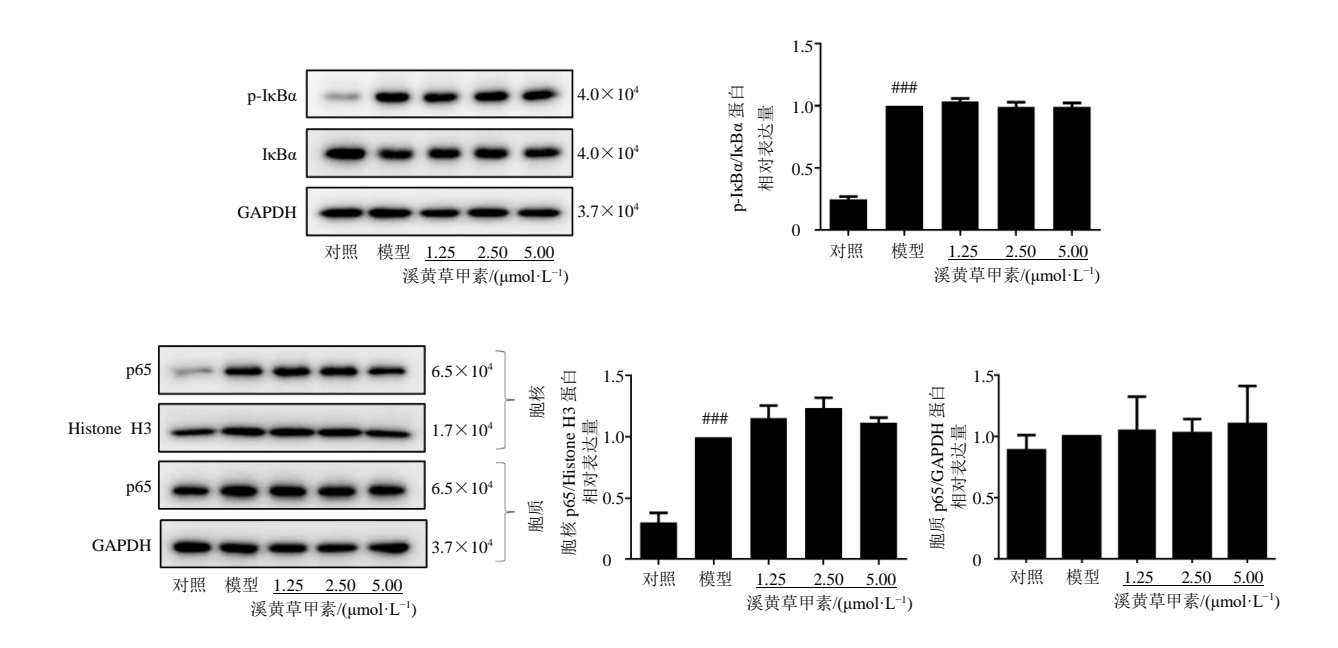


图 9 溪黄草甲素对 LPS 诱导的 RAW264.7 细胞 NF-κB 信号通路相关蛋白表达的影响 $(x \pm s, n = 3)$ Fig. 9 Effect of rabdoserrin A on NF-κB signaling pathway related protein expressions of RAW264.7 cells induced by LPS $(x \pm s, n = 3)$

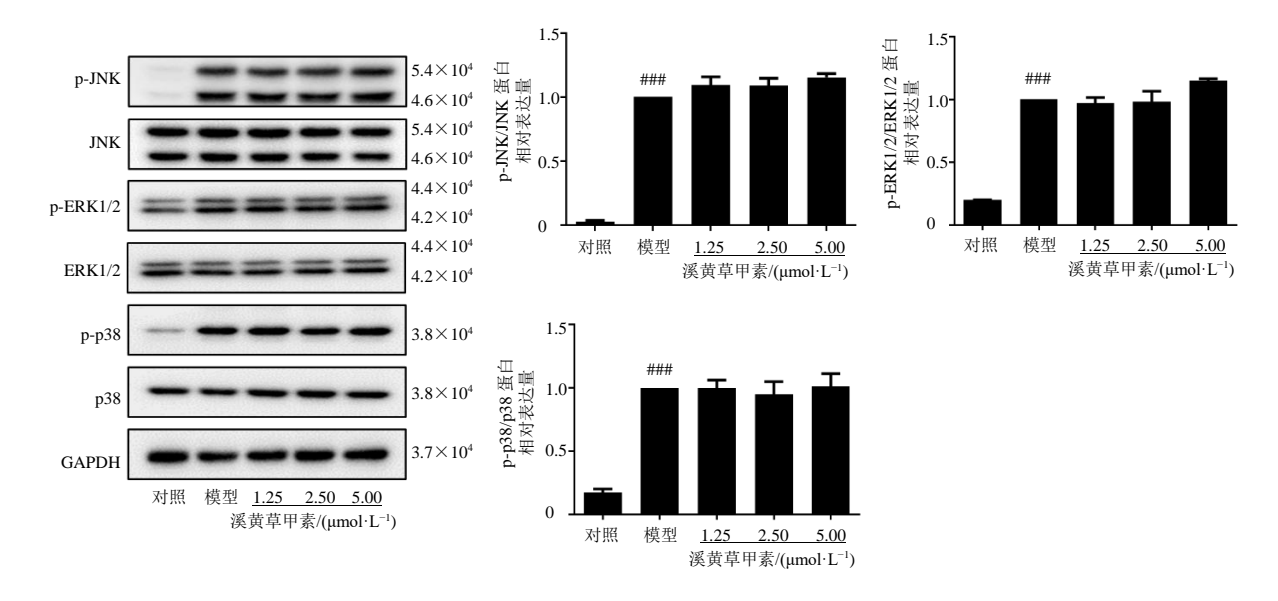


图 10 溪黄草甲素对 LPS 诱导的 RAW264.7 细胞 MAPK 信号通路相关蛋白表达的影响($x \pm s$, n = 3) Fig. 10 Effect of rabdoserrin A on MAPK signaling pathway related protein expressions of RAW264.7 cells induced by LPS $(x \pm s, n = 3)$

体内,溪黄草甲素也具有同样的抑制作用。以上结果表明溪黄草甲素具有良好的抗炎作用,提示溪黄草甲素是溪黄草发挥抗炎作用的物质基础之一。

STAT3 是一种关键调节因子,在炎性反应中发挥着重要的作用[14]。JAK2/STAT3 信号的激活由IL-6 识别细胞膜表面受体并与之结合,诱导 gp130

形成同源二聚体,进一步激活 JAK,激活后的 JAK 会使 gp130 胞内结构域上的酪氨酸残基磷酸化,从而招募 STAT3,这种激酶级联使 STAT3 磷酸化后形成二聚体并转移到细胞核,进而调控炎性细胞因子的表达,促进 IL-6 等炎性因子分泌至胞外^[15]。溪黄草甲素显著抑制 RAW264.7 细胞 p-JAK2、p-STAT3

蛋白表达水平,表明溪黄草甲素可能通过 JAK2/STAT3 途径发挥抗炎作用。IL-6 可以介导 JAK2/STAT3 的激活[16-17],本研究采用 IL-6 作为刺激剂对RAW264.7 细胞进行诱导,发现溪黄草甲素显著抑制IL-6 诱导的RAW264.7 细胞中 p-STAT3 蛋白表达水平。STAT3 的磷酸化可以调控 LPS 诱导的巨噬细胞中 IL-6 的产生[18],而 IL-6 又可以通过 gp130/JAK/STAT 途径调节 p-STAT3 蛋白表达[17]。为了确定溪黄草甲素对p-STAT3 蛋白表达与IL-6 分泌抑制作用的先后关系,本研究通过检测 LPS 刺激 RAW264.7 细胞不同时间的 IL-6 分泌,发现 LPS 刺激RAW264.7 细胞不同时间的 IL-6 分泌,发现 LPS 刺激RAW264.7 细胞 4 h 时,IL-6 还未显著释放,但此时溪黄草甲素已经显著抑制 p-STAT3 蛋白表达水平,表明溪黄草甲素通过抑制 JAK2/STAT3/IL-6 信号通路,从而发挥抗炎作用。

综上所述,本研究发现溪黄草甲素能够抑制 LPS 诱导的体内外炎性反应,其作用机制与抑制 JAK2/STAT3 信号通路有关。

利益冲突 所有作者均声明不存在利益冲突

参考文献

- [1] Nagata M. Inflammatory cells and oxygen radicals [J]. Curr Drug Targets Inflamm Allergy, 2005, 4(4): 503-504.
- [2] de Las Casas-Engel M, Corbí A L. Serotonin modulation of macrophage polarization: Inflammation and beyond [J]. Adv Exp Med Biol, 2014, 824: 89-115.
- [3] Shapiro H, Lutaty A, Ariel A. Macrophages, metainflammation, and immuno-metabolism [J]. Sci World J, 2011, 11: 2509-2529.
- [4] Sica A, Mantovani A. Macrophage plasticity and polarization: *In vivo* veritas [J]. *J Clin Invest*, 2012, 122(3): 787-795.
- [5] Murray P J, Wynn T A. Protective and pathogenic functions of macrophage subsets [J]. *Nat Rev Immunol*, 2011, 11(11): 723-737.
- [6] 全国中草药汇编组. 全国中草药汇编 (上册) [M]. 北京: 人民卫生出版社, 1975: 860-861.
- [7] 江苏新医学院. 中药大辞典 (下册) [M]. 上海: 上海科

- 学技术出版社, 1986: 5641-5642.
- [8] 金人玲,程培元,徐光漪. 溪黄草甲素的结构研究 [J]. 药学学报,1985,20(5):366-371.
- [9] Yang H H, Lv H, Li H J, *et al.* Oridonin protects LPS-induced acute lung injury by modulating Nrf2-mediated oxidative stress and Nrf2-independent NLRP3 and NF-κB pathways [J]. *Cell Commun Signal*, 2019, 17(1): 62.
- [10] Zhao G, Zhang T, Ma X F, et al. Oridonin attenuates the release of pro-inflammatory cytokines in lipopolysaccharideinduced RAW264.7 cells and acute lung injury [J]. Oncotarget, 2017, 8(40): 68153-68164.
- [11] Shapouri-Moghaddam A, Mohammadian S, Vazini H, *et al.* Macrophage plasticity, polarization, and function in health and disease [J]. *J Cell Physiol*, 2018, 233(9): 6425-6440.
- [12] Rossol M, Heine H, Meusch U, et al. LPS-induced cytokine production in human monocytes and macrophages [J]. Crit Rev Immunol, 2011, 31(5): 379-446.
- [13] Murakami A, Ohigashi H. Targeting NOX, INOS and COX-2 in inflammatory cells: Chemoprevention using food phytochemicals [J]. *Int J Cancer*, 2007, 121(11): 2357-2363.
- [14] Hillmer E J, Zhang H, Li H S, et al. STAT3 signaling in immunity [J]. Cytokine Growth Factor Rev, 2016, 31: 1-15.
- [15] Moresi V, Adamo S, Berghella L. The JAK/STAT pathway in skeletal muscle pathophysiology [J]. *Front Physiol*, 2019, 10: 500.
- [16] Lokau J, Schoeder V, Haybaeck J, et al. Jak-stat signaling induced by interleukin-6 family cytokines in hepatocellular carcinoma [J]. Cancers, 2019, 11(11): E1704.
- [17] Lokau J, Garbers C. Activating mutations of the gp130/JAK/STAT pathway in human diseases [J]. *Adv Protein Chem Struct Biol*, 2019, 116: 283-309.
- [18] Samavati L, Rastogi R, Du W J, et al. STAT3 tyrosine phosphorylation is critical for interleukin 1 beta and interleukin-6 production in response to lipopolysaccharide and live bacteria [J]. Mol Immunol, 2009, 46(8/9): 1867-1877.

[责任编辑 李亚楠]